

## Особенности динамики связанных состояний топологических солитонов в низкоразмерных системах с сильной дисперсией

М.М. Богдан, О.В. Чаркина

*Физико-технический институт низких температур им. Б.И. Веркина НАН Украины  
пр. Ленина, 47, г. Харьков, 61103, Украина  
E-mail: bogdan@ilt.kharkov.ua*

Статья поступила в редакцию 19 июля 2007 г., после переработки 6 августа 2007 г.

Исследована нестационарная динамика и взаимодействие топологических солитонов (дислокаций, доменных границ, флаксонов) в одномерных системах с сильной дисперсией. Аналитически и численно изучены процессы формирования солитонных комплексов в зависимости от величины дисперсии, скорости солитонов и расстояния между ними. В среде с диссипацией продемонстрирована возможность распространения устойчивых связанных солитонных состояний со сложной внутренней структурой за счет их стабилизации внешними силами.

Досліджено нестационарну динаміку та взаємодію топологічних солітонів (дислокацій, доменних границь, флаксонів) у одновимірних системах із сильною дисперсією. Аналітично та чисельно вивчено процеси формування солітонних комплексів в залежності від величини дисперсії, швидкості солітонів та відстані між ними. У середовищі із дисипацією продемонстровано можливість розповсюдження стійких зв'язаних солітонних станів із складною внутрішньою структурою за рахунок їх стабілізації зовнішніми силами.

PACS: **05.45.-a** Нелинейная динамика и хаос;  
05.45.Yv Солитоны;  
75.40.Gb Динамические свойства.

Ключевые слова: нелинейная динамика, солитонный комплекс, кинк, сильная дисперсия.

Динамические свойства топологических дефектов и структурных неоднородностей в низкоразмерных кристаллах могут быть адекватно описаны в терминах теории солитонов [1–3]. Для этого привлекаются квазиодномерные решеточные модели, в частности, для описания динамики дислокаций (краудионов) используется модель Френкеля–Конторовой [4,5], а свойства магнитных доменных границ исследуются в рамках анизотропных моделей гейзенберговских цепочек [6]. Следствием дискретности таких систем является сильная пространственная дисперсия волн. Континуальные модели также могут обладать сильной дисперсией, например, в случае учета нелокальных взаимодействий. Это справедливо, в частности, для макроскопических квантовых систем, а именно для процессов распространения квантов магнитного

потока (флаксонов) в длинных джозефсоновских контактах [7].

Дислокации, доменные границы и флаксоны являются простейшими примерами одномерных топологических солитонов — кинков. В длинноволновом пределе их свойства описываются в рамках уравнений синус-Гордон (СГ) и двойной синус-Гордон (ДСГ) [2]. Учет сильной дисперсии, вызванной нелокальными взаимодействиями или дискретностью, приводит к необходимости введения в уравнения СГ и ДСГ интегральных слагаемых или пространственных производных более высокого порядка [7–12]. При этом распространение солитонов в диспергирующей среде, казалось бы, с необходимостью должно сопровождаться сильным излучением. Однако сначала для дискретных систем [13], а затем и для ряда континуаль-

ных моделей с сильной дисперсией [7–12] было обнаружено универсальное явление — возможность практически безызлучательного быстрого движения связанных солитонных комплексов. Это уникальное свойство делает такие многосолитонные возбуждения крайне привлекательными с прикладной точки зрения. В настоящей работе исследуются особенности динамики солитонных комплексов, образованных сильно взаимодействующими одномерными кинками в среде с сильной дисперсией [11]. Физически такие двухсолитонные состояния соответствуют, например, движущемуся дефекту, состоящему из двух соседних дислокационных полуплоскостей, или узкой  $360^\circ$  магнитной доменной границе, возникающей даже в отсутствие магнитного поля, или связанной паре флаконов. Теоретически внутренняя структура этих солитонов может быть детально изучена в рамках моделей, приводящих к кусочно-линейным уравнениям с сильной дисперсией [10–12]. В то же время нестационарная динамика комплексов, условия их образования и устойчивость, учет влияния на них диссипации и внешних сил остаются во многом открытыми вопросами. Этот круг проблем рассмотрен в настоящей работе в рамках *регуляризованных* уравнений СГ и ДСГ с дополнительной четвертой пространственно-временной производной.

Обычно в длинноволновом приближении для дискретных систем, например, для модели Френкеля–Конторовой, описываемой дискретным уравнением синус-Гордон [13]

$$\frac{\partial^2 u_n}{\partial \tau^2} + 2u_n - u_{n-1} - u_{n+1} + \frac{1}{d^2} \sin u_n = 0, \quad (1)$$

высшая дисперсия учитывается оставлением четвертой пространственной производной в разложении второй разности  $u_{n-1} + u_{n+1} - 2u_n \approx u_{xx} + \gamma u_{xxxx}$ . Здесь переменная  $u_n$  — смещение атома с номером  $n$ ,  $d$  — параметр дискретности,  $x = n/d$  и параметр  $\gamma = 1/12d^2$ . Полученное в результате уравнение с четвертой пространственной производной обладает существенным недостатком — искусственно возникшей неустойчивостью состояний с  $u = 0, 2\pi, 4\pi \dots$  относительно возбуждения коротких волн. Чтобы избежать подобной неустойчивости в уравнениях гидродинамики, Буссиеск первым предложил использовать вместо четвертой пространственной смешанную пространственно-временную производную. Розенау обосновал такую замену в теории решетки [14]. Эта же идея была применена к уравнениям СГ и ДСГ с высшей дисперсией в работах [9–11]. В настоящее время такой подход активно используется для аналитического описания эффектов дискретности [15–17].

Уравнение двойной синус-Гордон с четвертой смешанной производной имеет вид [9–11]

$$u_{tt} - u_{xx} - \beta u_{xxt} + \sin u + 2H \sin(u/2) = 0. \quad (2)$$

Константа  $\beta$  в этом уравнении является параметром дисперсии. При  $H = 0$  и  $\beta = 0$  уравнение (2) становится обычным уравнением СГ, имеющим, помимо модели краудина, множество других приложений. В частности, переменная  $u(x, t)$  в уравнении СГ описывает разность фаз волновых функций в сверхпроводниках в модели длинного джозефсоновского контакта [2]. Для магнитных приложений константа  $H$  в уравнении (2) имеет физический смысл магнитного поля, а переменная  $\varphi = u/2$  соответствует, например, азимутальному углу вектора намагниченности в легкоплоскостном ферромагнетике [6].

Закон дисперсии линейных волн для уравнения (2) имеет вид

$$\omega(k) = \sqrt{(1 + H + k^2)/(1 + \beta k^2)}. \quad (3)$$

Особенностью спектра (3) является его ограниченность по частотам не только снизу, но и сверху. Это свойство делает его похожим на спектр исходной дискретной модели (1). Более того, при  $H = 0$  он просто совпадает со спектром СГ модели с нелокальным взаимодействием [7]. Из закона дисперсии (3) следует, что регуляризованное уравнение (2) не имеет неустойчивости состояний с  $u = 0, 2\pi, 4\pi \dots$  относительно коротковолновых возбуждений. Таким образом, в рамках регуляризованного уравнения (2) становится возможным детальное аналитическое и численное исследование особенностей динамики солитонных комплексов.

Уравнение (2) обладает важными точными решениями, что позволяет сформулировать некоторые строгие результаты. Решение  $u_{2\pi}(x) = 4 \arctg(\exp(x))$  для неподвижного солитона (кинка) обычного уравнения СГ остается точным решением уравнения (2) при  $H = 0$  и произвольном  $\beta$ . Аналогично статическое решение уравнения ДСГ, так называемый *вобблер* [2]:  $u_w(x) = 4 \arctg(\exp(qx + R)) + 4 \arctg(\exp(qx - R))$ , где  $q = \sqrt{1 + H}$  и  $\text{sh } R = 1/\sqrt{H}$ , является точным решением уравнения (2) при любых  $\beta$ . Оно описывает, например,  $360^\circ$  доменную границу в ферромагнетике, образованную двумя одинаковыми  $180^\circ$  доменными стенками.

Полный спектр линейных возбуждений неподвижного кинка уравнения (2) при  $H = 0$  может быть найден в явном виде [18, 19]. Оказывается, что благодаря дисперсии, кинк теперь обладает внутренними модами, и число их растет с увеличением параметра  $\beta$ , в то время как область непрерывного спектра становится все более узкой. Естественно предположить, что в условиях сильной дисперсии наличие внутренних мод становится доминирующим фактором как в динамике одиночных кинков, так и в процессах их связывания.

Действительно, для уравнения (2) было найдено решение, описывающее движущийся комплекс, который состоит из двух сильно связанных  $2\pi$ -кинков [9–11]:

$$u_{4\pi}(x, t) = 8 \operatorname{arctg} \left\{ \exp \left( \frac{x - V_0 t}{l_0} \right) \right\}. \quad (4)$$

Скорость такого комплекса  $V_0$ , его эффективная ширина  $l_0$  и энергия  $E_0$  являются заданными функциями параметров  $\beta$  и  $H$ :

$$V_0(\beta, H) = \sqrt{1 + \frac{\beta}{3} \left( 1 + \frac{3}{2} H \right)^2} - \sqrt{\frac{\beta}{3} \left( 1 + \frac{3}{2} H \right)}, \quad (5)$$

$$l_0 = (3\beta V_0^2)^{1/4}, \quad E_0 = 32(l_0^{-1} - \frac{l_0}{9}).$$

При  $H = 0$  выражение (4) переходит в точное решение для регуляризованного уравнения СГ. Уравнение (2) при любых  $H \geq 0$  обладает другими двухсолитонными решениями, которые отвечают «возбужденным» состояниям солитонного комплекса и имеют характерную внутреннюю структуру [7, 10, 11]. Эти решения находятся численно, причем им соответствует дискретный набор значений скоростей.

Спектр колебаний движущегося кинка при  $H = 0$  определяется сложным линеаризованным уравнением, которое может быть проанализировано в случае малых скоростей  $V$  и значений параметра  $\beta$ . В диспергирующей среде движение кинка приводит к связанным осцилляциям его скорости и эффективной ширины [18]. Для малых  $\beta$  и  $V$  динамические свойства уравнения (2) должны быть близкими к таковым для Лоренц-инвариантной СГ-системы.

В работе проведено численное моделирование динамики одиночных кинков и солитонных комплексов. Для решения уравнений с четвертой пространственно-временной производной применялась разностная схема, аналогичная предложенной в [7], которая обладает высокой устойчивостью, поскольку включает в себя метод прогонки. При вычислениях шаг по времени выбирался равным  $\Delta t = 0,0001$  и шаг по координате, как правило, равным  $\Delta x = 0,02$ , при этом размер системы обычно брался равным  $L = N \cdot \Delta x$ , где  $N = 3000$ . В случаях, когда надо было исключить или минимизировать граничные эффекты, выбирались значения  $N = 6000$  и  $10000$ . Начальные условия выбирались в соответствии с выражениями для кинка, вобблера и солитонного комплекса (4), а граничные условия — в виде фиксированных границ со значениями  $u(0, t) = 0$  и соответственно  $u(L, t) = 2\pi$  для кинка и  $u(L, t) = 4\pi$  для комплекса. Начальные скорости  $V_{in}$  кинков и комплексов находились в интервале между  $0,1$  и  $0,9$ , а типичными значениями параметра дисперсии были  $\beta = 1/12, 1/4$  и  $1$ .

В результате для случая  $H = 0$  было найдено, что одиночный кинк при малых значениях параметров  $\beta$  и  $V_{in}$  движется практически стационарно, генерируя слабое излучение с волновым вектором, определяемым из уравнения  $\omega(k_0) = V k_0$ . С ростом параметра дисперсии излучение вперед исчезает, т.е. при фиксированном  $\beta$  существуют критические скорости  $V_{in}$ , выше которых возможно только излучение назад. Если параметр  $\beta$  и скорость  $V_{in}$  не малы, тогда динамика кинка уже на начальной стадии становится сильно нестационарной и диссипативной, как в дискретных системах [13]. Реально из-за наличия внутренней моды в спектре возбуждений кинка важным каналом потери солитоном энергии является процесс формирования осциллирующего кинка (wobbling kink). Он начинается с возбуждения внутренней моды, которая быстро трансформируется в самолокализованное колебание, так называемый бризер [3], который представляет собой динамическое связанное состояние двух кинков с противоположными топологическими зарядами. Для обычного уравнения синус-Гордон такой осциллирующий кинк может быть найден явно [20]. При этом бризер, локализованный на кинке, имеет симметрию внутренней моды. Из-за дисперсии его скорость быстро становится меньше скорости кинка, и бризер оказывается на заднем фронте топологического солитона.

Далее были аналитически и численно изучены процессы взаимодействия кинков и условия образования ими связанных солитонных комплексов в зависимости от начальной скорости кинков, расстояния между ними и величины параметра дисперсии. Оказалось, что для описания процесса связывания кинков и их взаимодействия с малоамплитудной бризерной модой  $f_b(\xi, t) = a \sin(\Omega t - k(\xi - \xi_0)) / \operatorname{ch}(\varepsilon(\xi - \xi_0))$  достаточно использовать следующий анзац:

$$u_{wb}(x, t) = 4 \operatorname{arctg}(\exp(\xi + R)) + 4 \operatorname{arctg}(\exp(\xi - R)) + f_b(\xi, t)(1 - \operatorname{th} \xi), \quad (6)$$

в котором  $\xi = (x - Vt) / l$  и параметры  $V, l, R, a, \varepsilon, \Omega, k$  и  $\xi_0$  предполагаются функциями, зависящими от времени. При  $R = a = 0$  и  $l = l_0$  и  $V = V_0$  выражение (6) сводится к точному решению (4). Прежде всего, мы убедились численно, что солитонный комплекс (4), движущийся стационарно со скоростью  $V_0$ , является устойчивым относительно малых возмущений. Если положить  $H = 0$  и взять начальный профиль в виде решения (4), но для скорости выбрать малое значение, то в этом случае солитонный комплекс распадается взрывным образом. Однако сила отталкивания достаточно быстро уменьшается с ростом начальной скорости комплекса. При приближении  $V_{in}$  снизу к скорости стационарного движения  $V_0$  два взаимодействующих кинка проходят стадию формирования

«возбужденных» состояний солитонного комплекса [7,10,11]. Однако такие состояния оказываются метастабильными, хотя и имеющими достаточно большое время жизни. Далее был изучен характер взаимодействия быстро движущихся кинков в зависимости от расстояния между их центрами. Было обнаружено, что при малых  $R \leq 1$  имеет место притяжение, в результате чего образуется устойчивый солитонный комплекс. Такой случай приведен на рис. 1 для  $\beta = 1/12$  и  $V_{in} = 0,9$ . Видно, что солитонный комплекс не разрушается даже после отражения от границы. С увеличением расстояния между кинками притяжение сменяется на отталкивание, в результате чего комплекс распадается на два кинка. При немалых начальных скоростях  $V_{in} - V_0 \leq V_0 / 3$  и  $\beta \leq 1$  солитонный комплекс выживает, сбрасывая избыточную энергию в виде бризерных мод. Однако в этом случае существует еще одна критическая скорость, выше которой комплекс диссоциирует на два кинка. Такой распад «высокоэнергетического» комплекса с образованием нескольких бризерных мод происходит, например, при  $\beta = 1$  и  $V_{in} = 0,9$  (рис. 2).

Наконец, нами было исследовано влияние внешней силы и диссипации на динамику солитонных комплексов. Для этого в правую часть уравнения (2) при  $H = 0$  были добавлены члены  $j_0 - \lambda u_t$ , где первое слагаемое, например в джозефсоновском контакте, соответствует току смещения, а  $\lambda$  — коэффициенту диссипации. Результат численного моделирования представлен на рис. 3 для  $\lambda = 0,1$  и шести последовательных значений  $j_0$  от  $-0,1$  до  $-0,35$ . Оказывается, что внешнее воздействие позволяет стабилизировать в условиях диссипации не только солитонный комплекс, но и его «возбужденные» состояния. Для волн стационарного

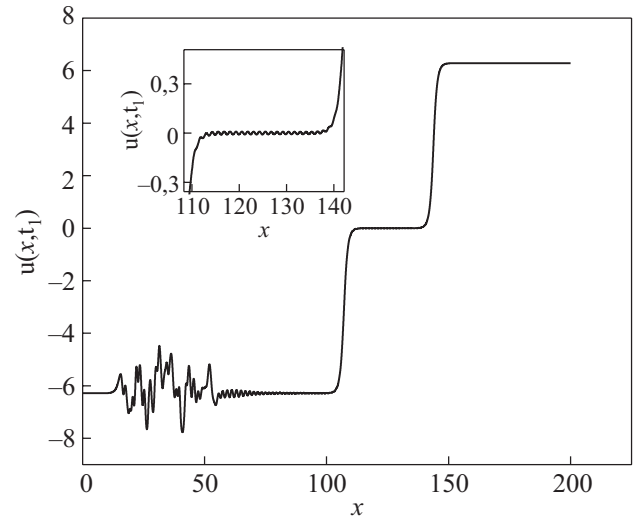


Рис. 2. Распад солитонного комплекса при  $\beta = 1$ ,  $V_{in} = 0,9$  и  $t_1 = 500$ . Первый кинк движется с постоянной скоростью  $V_1 = 0,152$ . Позади второго кинка — бризерные моды. На вставке в увеличенном масштабе показана пространственная модуляция поля между кинками.

профиля производные  $u_t$  и  $u_x$  пропорциональны друг другу, и обе они имеют форму двойных близко расположенных пиков. С этими производными непосредственно связаны экспериментально измеряемые величины, в частности, напряжение  $U \sim u_t$  и магнитное поле  $h \sim u_x$  в случае длинного джозефсоновского контакта, а в кристалле с дислокациями производная  $u_x$  определяет упругую деформацию среды. Заметим, что принципиальная возможность наблюдения многосолитонных возбуждений в длинных джозефсоновских контактах была продемонстрирована достаточно давно [21].

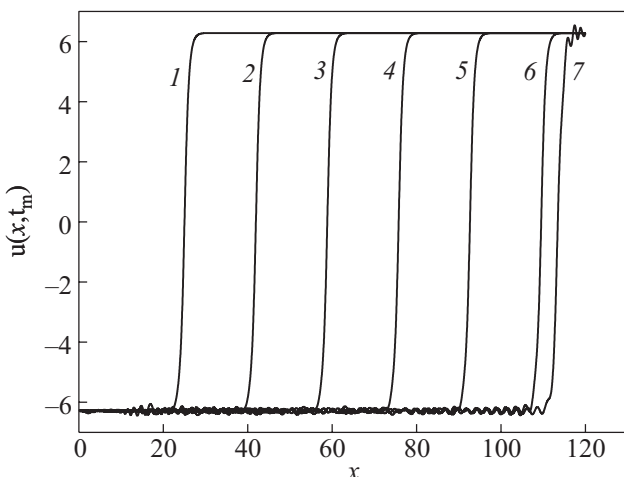


Рис. 1. Распространение устойчивого солитонного комплекса. Каждая кривая с номером  $m$  соответствует моменту времени  $t_m = 20 \cdot m$ . Профиль решения с номером  $m = 7$  отвечает комплексу, отразившемуся от границы.

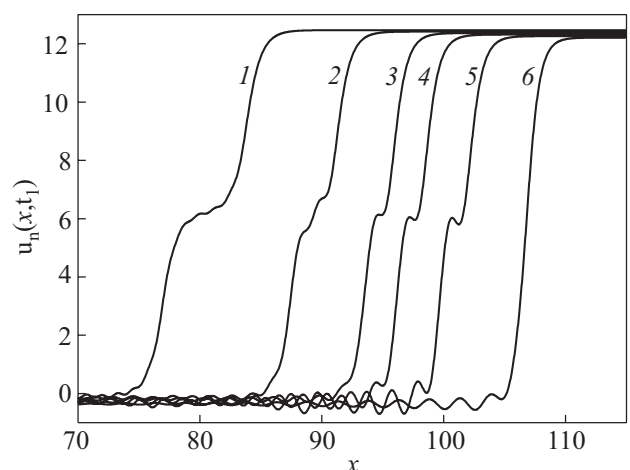


Рис. 3. Распространение устойчивых солитонных комплексов с внутренней структурой в условиях действия внешней силы и диссипации. Коэффициент  $\lambda = 0,1$  и кривые с номером  $n = 1, \dots, 6$  отвечают  $j_0 = -0,05(1+n)$  и одинаковому моменту времени  $t_1 = 100$ .

Таким образом, полученные результаты могут быть использованы для объяснения и описания новых эффектов в динамике топологических солитонов в средах с сильной дисперсией, в частности, дислокаций в неидеальных решетках, флаксонов в системах джозефсоновских контактов и магнитных доменных стенок в анизотропных магнетиках.

1. В.Е. Захаров, С.В. Манаков, С.П. Новиков, Л.П. Питаевский, *Теория солитонов: метод обратной задачи*, Москва, Наука (1980).
2. Р. Додд, Дж. Эйлбек, Дж. Гиббон, Х. Моррис, *Солитоны и нелинейные волновые уравнения*, Москва, Мир (1988).
3. А.М. Косевич, А.С. Ковалев, *Введение в нелинейную физическую механику*, Киев, Наукова думка (1989).
4. А.М. Косевич, *Теория кристаллической решетки*, Харьков, Вища школа (1988).
5. В.Д. Нацик, С.Н. Смирнов, Е.И. Назаренко, *ФНТ* **27**, 316 (2001).
6. А.М. Косевич, Б.А.Иванов, А.С. Ковалев, *Нелинейные волны намагниченности. Динамические и топологические солитоны*, Киев, Наукова думка (1983).
7. G.L. Alfimov, V.M. Eleonskii, N.E. Kulagin, and N.N. Mitskevich, *Chaos* **3**, 405 (1993).
8. М.М. Богдан and А.М. Косевич, In: *Nonlinear Coherent Structures in Physics and Biology, NATO ASI Series B: Physics*, vol. 329, Plenum Press, New York (1994), p. 373.
9. М.М. Богдан and А.М. Косевич, *Proc. Estonian Acad. Sci. Phys. Math.* **46**, 14 (1997).
10. М.М. Богдан, А.М. Косевич, and G.A. Maugin, *Condens. Matter Phys.* **2**, 255 (1999).
11. М.М. Богдан, А.М. Косевич, and G.A. Maugin, *Wave Motion* **34**, 1 (2001).
12. А.С. Малышевский, В.П. Силян, С.А. Урюпин, *ЖЭТФ* **117**, 771 (2000).
13. M. Peyrard and M.D. Kruskal, *Physica* **D14**, 88 (1984).
14. P. Rosenau, *Phys. Rev.* **B36**, 5868 (1987).
15. P.G. Kevrekidis, I.G. Kevrekidis, A.R. Bishop, and E.S. Titi, *Phys. Rev.* **E65**, 046613-1 (2002).
16. B.F. Feng, Y. Doi, and T. Kawahara, *J. Phys. Soc. Jpn.* **73**, 2100 (2004).
17. P. Rosenau and S. Schochet, *Chaos* **15**, 015111 (2005).
18. O.V. Charkina and M.M. Bogdan, *Uzhgorod Univ. Sci. Herald. Series Physics* **17**, 30 (2005).
19. O.V. Charkina and M.M. Bogdan, *Symmetry, Integrability and Geometry: Methods and Applications* **2**, 047-12 (2006).
20. H. Segur, *J. Math. Phys.* **24**, 1439 (1983).
21. D. Dueholm, O.A. Levring, J. Mygind, N.F. Pedersen, O.H. Soerensen, and M. Cirillo, *Phys. Rev. Lett.* **46**, 1299 (1981).

### Peculiarities of dynamics of bound states of topological solitons in low-dimensional highly-dispersive systems

М.М. Богдан and О.В. Чаркина

Nonstationary dynamics and interaction of topological solitons (dislocations, domain walls, fluxons) are investigated in one-dimensional highly-dispersive systems. The conditions and processes of soliton complex formation are studied analytically and numerically in relation to dispersion strength, soliton velocity and solitons separation. It is shown that in a dissipative medium the stable bound soliton states with a complex internal structure can propagate due to their stabilization by external forces.

PACS: **05.45.-a** Nonlinear dynamics and chaos;  
**05.45.Yv** Solitons;  
**75.40.Gb** Dynamic properties.

Keywords: nonlinear dynamics, soliton complex, kink, strong dispersion.